

静的・繰り返し載荷によるプレキャストコンクリートピア
耐震特性の実験的研究

愛知工業大学 学生員 小林修一
愛知工業大学 正員 青木徹彦
株式会社ビー・エス 正員 西垣義彦

1. 導入

近年コンクリート工事における労働力不足、労働時間短縮といった問題を解決する有効な工法としてプレキャスト工法が注目されている。ところが、橋梁下部工におけるプレキャスト化は既往の研究が十分であるとはいえない、その挙動の解明が急務となっている。そこで、従来工法であるRC場所打ち工法とプレキャスト工法の地震時耐荷力を比較することを目的に水平繰り返し載荷試験を行う。

2. 試験の概要

本試験では、RC場所打ち一体構造と橋脚におけるプレキャスト方式を採用し、各供試体に水平繰り返し荷重を加えて荷重一変位特性を試験的に明らかにした。Table 1, 2に4種類の供試体一覧、材料諸元を示す。載荷は50tf構造物加力装置およびMTS50tfのアクチュエータで引張鉄筋あるいは引張PC鋼棒が降伏するときの柱頭変位を基準柱頭変位 δ として $\pm 1\delta, \pm 2\delta, \dots$ とそれぞれ3往復繰り返した。

変位は電気式変位計により計測した。

3. 材料試験の結果及び考察

コンクリート円柱供試体圧縮試験から得られた応力一ひずみ曲線をFig. 5~6示す。各供試体の記号のFはフーチング部、Hは柱部を意味する。低強度のものは、弾塑性状態の範囲が大きく、高強度のものは弾塑性状態の範囲が小さい。よって、高強度のものは降伏点に達すると座屈破壊を起こし易くなると言える。

4. 載荷試験の結果及び考察

水平繰り返し載荷試験による各供試体の荷重一柱頭変位曲線をFig. 13.1~13.4に示す。ただし、降伏荷重及び降伏変位で各軸を無次元化している。この図から、RC構造は、降伏点に達すると急激な耐力低下が見られることより、座屈を起こし易いと言える。一方、供試体B1, B2は、降伏強度を保ったままかなり変位するため、柱部下端の吸収エネルギーは非常に小さく、剛性の小さい構造物であることがわかる。よって、地震力のような大きい水平力が作用した場合に非常に大きい振動を起こす可能性がある。各供試体における降伏荷重、降伏変位、最大荷重の計算の値をTable 5、Table 6に示す。ただし、降伏荷重、降伏変位の実測値は 2δ 時の荷重一柱頭変位曲線から求めた。各供試体で、計算降伏柱頭変位と実測値を比較すると、実測値は供試体A, B1, B2とも149%, 75%, 30%大きかった。これは、軸方向鉄筋がフーチング部から抜け出して回転変位を生じたこと、及びPC鋼棒が降伏する前に付着切れを起こして回転変位を生じたため等が原因として考えられる。

Table. 1 桥脚下端の接続方法

供試体名	略図	備考
A RC一休構造		
B1 下部加大方式(1)		接続鋼板としてPC鋼棒を使用し、有効実験力は $P_e = 0.25 P_u$ とする。
B2 下部加大方式(2)		接続鋼板として真柱及びPC鋼棒を使用し、有効実験力は $P_e = 0.25 P_u$ とする。
C 通路方式		接続鋼板としてPC鋼棒を使用し、有効実験力は $P_e = 0.25 P_u$ とする。

Table. 2 使用材料諸元

供試体名	柱部コンクリート正味強度 (kgf/cm ²)	フーチング部 コンクリート 正味強度 (kgf/cm ²)	PC鋼棒	鉄筋	吸収モルタル正味強度 (kgf/cm ²)
A	240	—	—	—	—
B1	400	240	SBP905/110 高伸び鋼筋	SD295	400
B2	—	—	SBP905/110	—	—

Table. 5 計算 $P_y - \delta_y - P_{max}$ 関係

供試体名	降伏荷重 P_y (tf)	降伏柱頭変位 δ_y (mm)	最大荷重 P_{max} (tf)
A	14.1	8.8	15.2
B1	13.0	13.35	16.7
B2	13.0	13.35	15.0
C	12.7	28.7	15.0

Table. 6 $P_y - \delta_y - P_{max}$ 関係

供試体名	降伏荷重 P_y (tf)	降伏柱頭変位 δ_y (mm)	最大荷重 P_{max} (tf)
A	17.8	21.2	18.8 (2δy時)
B1	16.5	23.4	20.0 (2δy時)
B2	16.0	21.4	18.5 (1.5δy時)
C	12.6	25.7	18.7 (2δy時)

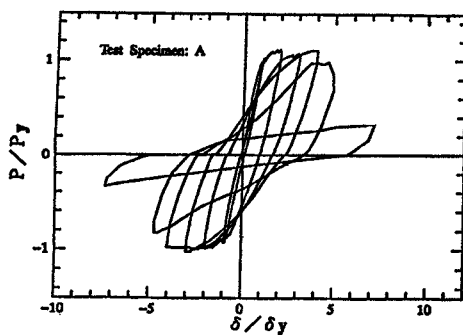


Fig.13.1 Load-Horizon Displacement Curve

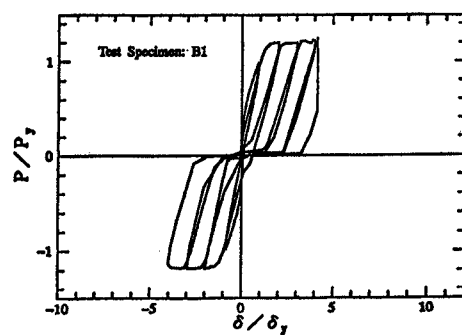


Fig.13.2 Load-Horizon Displacement Curve

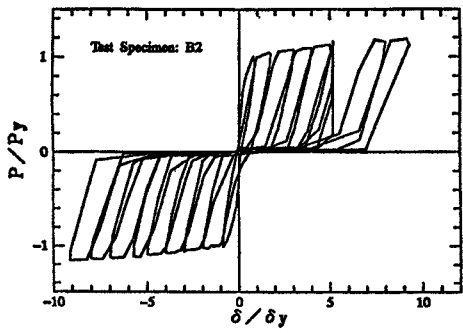


Fig.13.3 Load-Horizon Displacement Curve

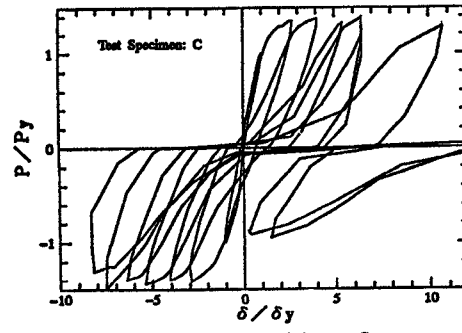


Fig.13.4 Load-Horizon Displacement Curve

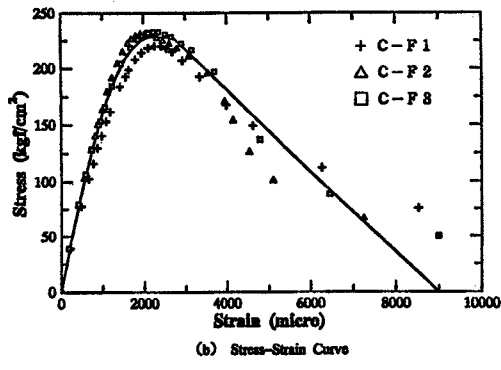


Fig.5 Test Specimen: C-F

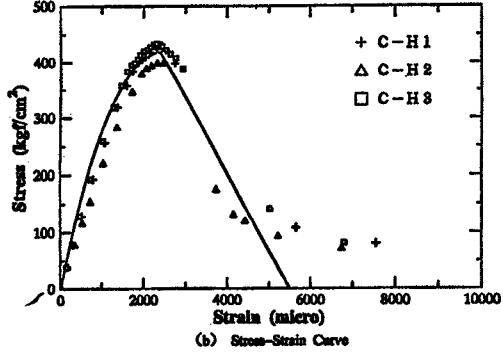


Fig.6 Test Specimen: C-H

参考文献 池田尚治、鉄筋コンクリート柱の地震時挙動と耐震設計の評価、コンクリート工学論文集
1991.1; 日本道路協会 道路橋示方書・同解説 耐震設計編